

Phasenumwandlungen und Quanteneffekte in Modell-Kolloiden und Nanostrukturen

Peter Nielaba

Universität Konstanz



$1 \text{ nano-meter} = 1/1\,000\,000\,000 \text{ m}$

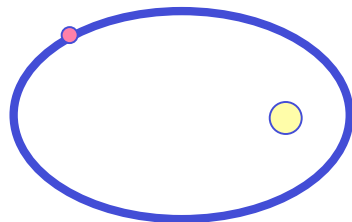


**In a Europe of the size of a water droplet
humans have the size of a nano-meter**

Observation/Experiment

few particles

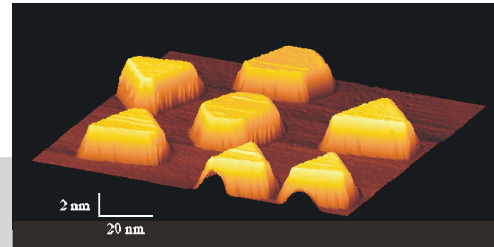
Example: solar system



$$\phi(r) = \pm \frac{p_\phi}{m} \int_{r_0}^r \frac{dr}{r^2 \sqrt{\frac{2}{m} \left[E - V(r) - \frac{p_\phi^2}{2mr^2} \right]}} + \phi_0$$

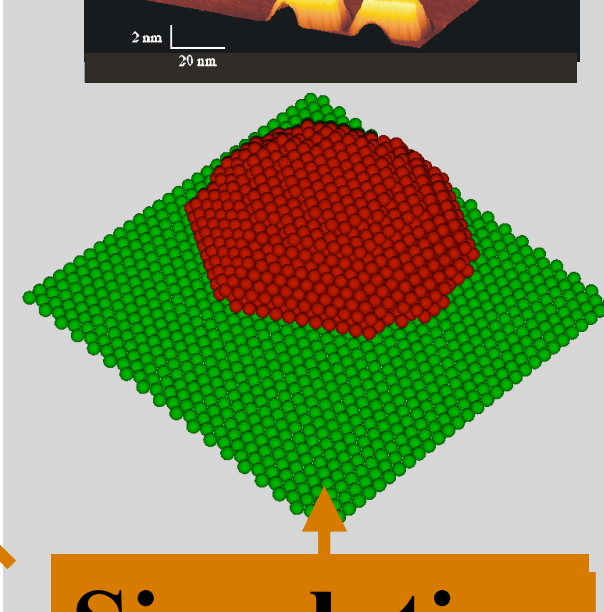
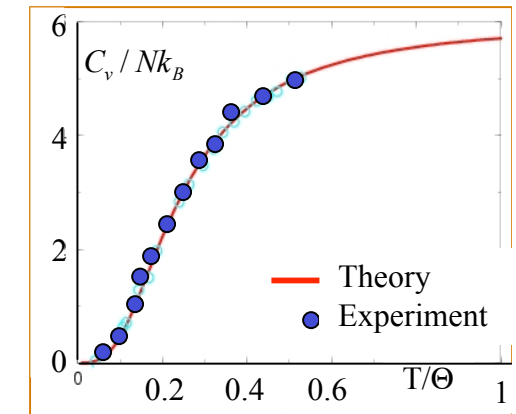
Kepler-ellipses

Structures and growth
at surfaces



very many particles

Example: heat capacity
of solid



Simulation

Theory

Debye-model
of solids



Das Universum im Computer / LS Nielaba

- Numerisch **exakte** Behandlung komplexer Systeme
- Überprüfung analytischer Näherungen
- Voraussagen fürs Experiment

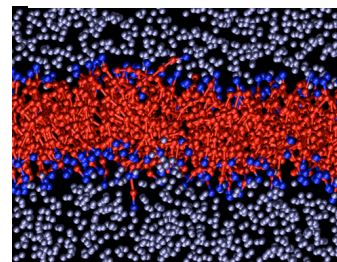
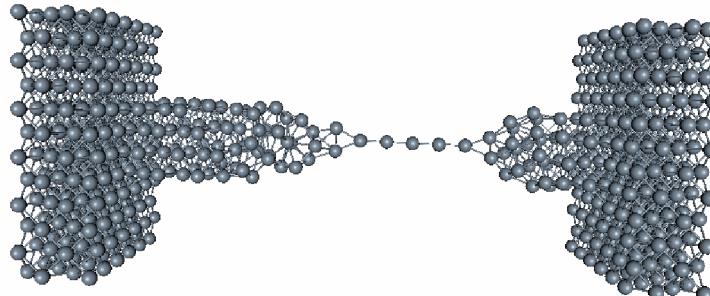
Vielteilchensysteme

- Materialien für die Zukunft
- Struktur-Änderungen durch äußere Felder



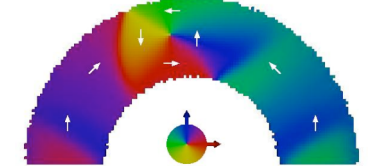
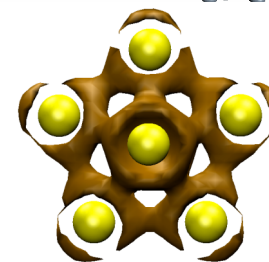
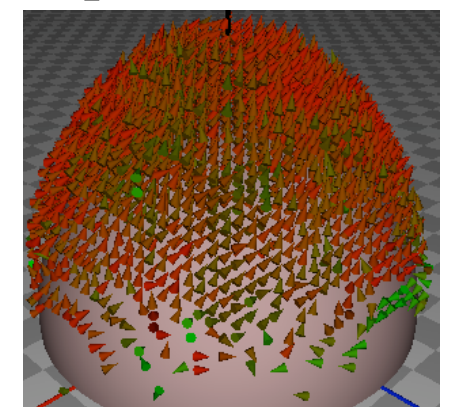
Quantenphänomene

- Nano-Bauelemente



Magnetismus

- Neue Speichermedien



Nachbarwissenschaften: Mathematik (Modellbildung, Methoden), Informatik, Chemie (Moleküle), Biologie (Membran), Finanz-Physik (€)

Vortrag:

Modellkolloide: Phasenumwandlungen

Quanteneffekte

Auswirkung externer Felder

Nanostrukturen: Atomare Drähte

Cluster

Magnetische Domänen

Mitarbeiter:

Kolloide:

Florian Bürzle

Kerstin Franzrahe

Peter Henseler

Marc Lohrer

Nadine Schwierz

Wolfram Strepp

K. Binder (Mainz)

A. Ricci (Mainz)

S. Sengupta (Calcutta)

D. Chaudhuri (Calcutta)

Cluster:

Dominik Fischer

Wolfram Quester

Margit Schach

Drähte:

Markus Dreher

J. Heurich (Karlsruhe)

C. Cuevas (Karlsruhe)

F. Pauly (Karlsruhe)

Magnetische Domänen:

Christine Schieback

Daniel Mutter

Tobias Sorg

Experimente: A. Erbe, C. Bechinger (Stuttgart), G. Ganteför, M. Kläui, P. Leiderer, G. Maret, U. Rüdiger, E. Scheer, K. Zahn (Konstanz)

Methoden:

Klassische Simulationen:

- Monte Carlo
- Molekulardynamik
- Brownian Dynamics
- Finite Size Scaling

Quantensimulationen:

- Pfadintegral Monte Carlo
- Dichtefunktionaltheorie (Car-Parinello)

Computer:

- Großrechner (NIC, HLRS, SSC)
- lokale compute-cluster

Kooperationen:

- SFB TR6 (Kolloide) - “Teilsprecher” Konstanz
- SFB 767 (Nanostrukturen)
- ESF/COST (“SIMU”, “MOLSIMU”, “SIMBIOMA”) - “chairman”

Kombinationen von Methoden zur Überbrückung von Längen-und Zeitskalen

Simulationen in der Statistischen Physik

Statistische Mittelwerte :

$$\langle A \rangle = \frac{1}{Z} \int d\{\mathbf{X}\} A(\mathbf{X}) \exp[-H(\mathbf{X})/k_B T]$$

dabei: $Z = \int d\{\mathbf{X}\} \exp[-H(\mathbf{X})/k_B T]$

Im Gleichgewicht :

$$P_{eq}(\mathbf{X}) = \frac{1}{Z} \exp[-H(\mathbf{X})/k_B T]$$

$$\langle A \rangle = \frac{1}{M} \sum_{i=1}^M A(\mathbf{X}_i)$$

Metropolis Monte Carlo:

- Wahrscheinlichkeit

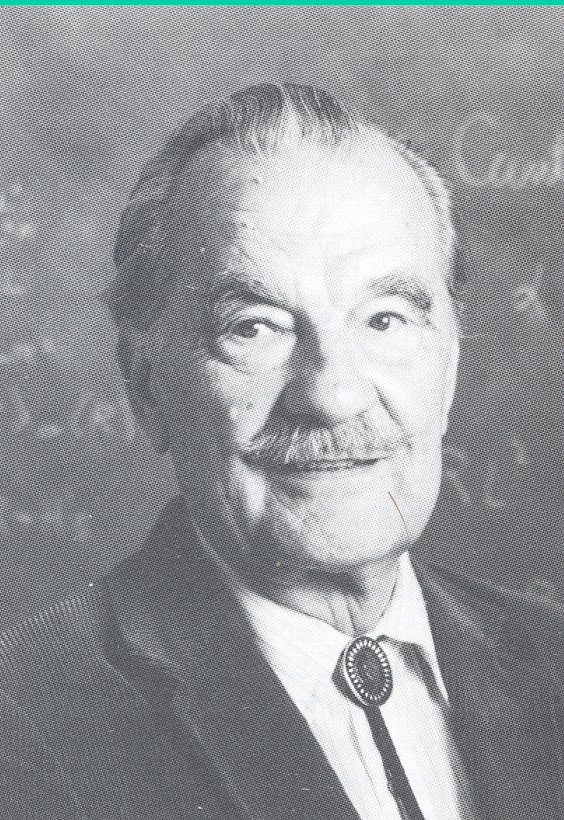
$$P(\mathbf{X}, t+1) =$$

$$= \sum_{\mathbf{X}'} W(\mathbf{X}' \rightarrow \mathbf{X}) P(\mathbf{X}', t)$$

- detaillierte Balance

$$W(\mathbf{X}' \rightarrow \mathbf{X}) = W(\mathbf{X} \rightarrow \mathbf{X}') P_{eq}(\mathbf{X}')$$

- Wahl für Übereinstimmungen:

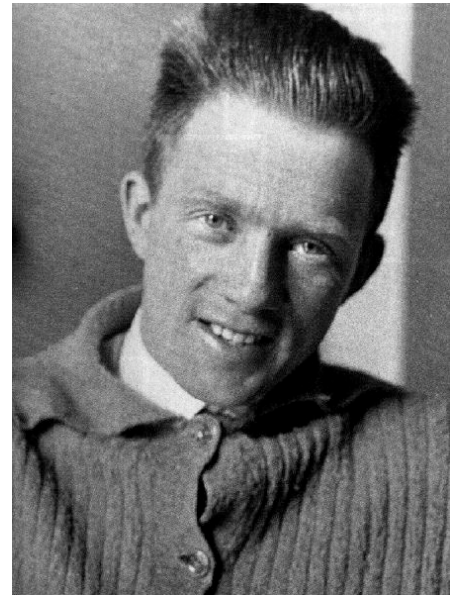


g im Phasenraum:

$$W(\mathbf{X} \rightarrow \mathbf{X}') P(\mathbf{X}, t)$$

$$W(\mathbf{X}' \rightarrow \mathbf{X}) = \exp(-\beta \Delta H[\mathbf{X} \rightarrow \mathbf{X}']) P_{eq}(\mathbf{X})$$

$$W(\mathbf{X} \rightarrow \mathbf{X}') = \begin{cases} \exp(-\beta \Delta H[\mathbf{X} \rightarrow \mathbf{X}']): \Delta H \geq 0 \\ 1: \Delta H \leq 0 \end{cases}$$

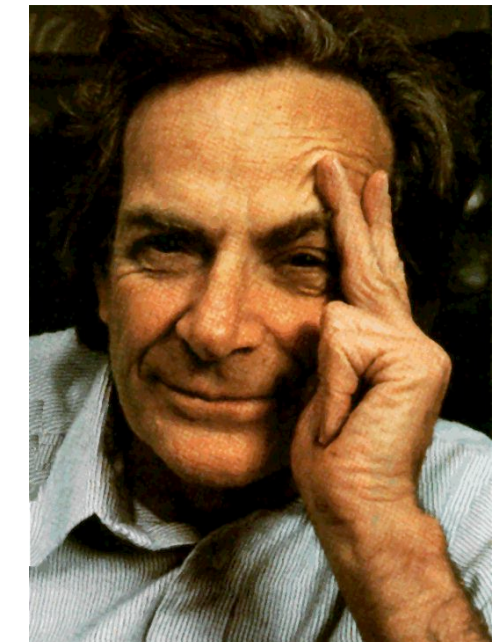


Statistische Mechanik

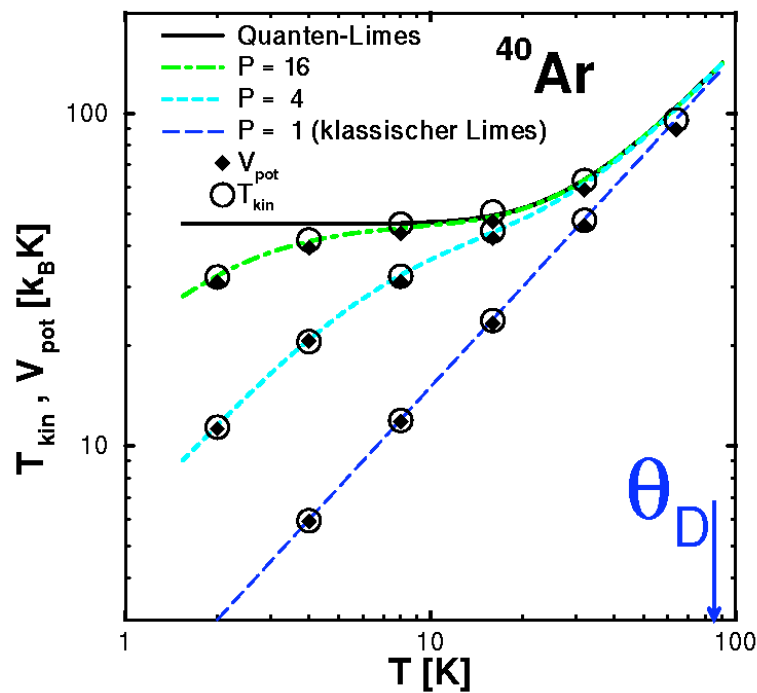
Quantenmechanik

Pfadintegrale

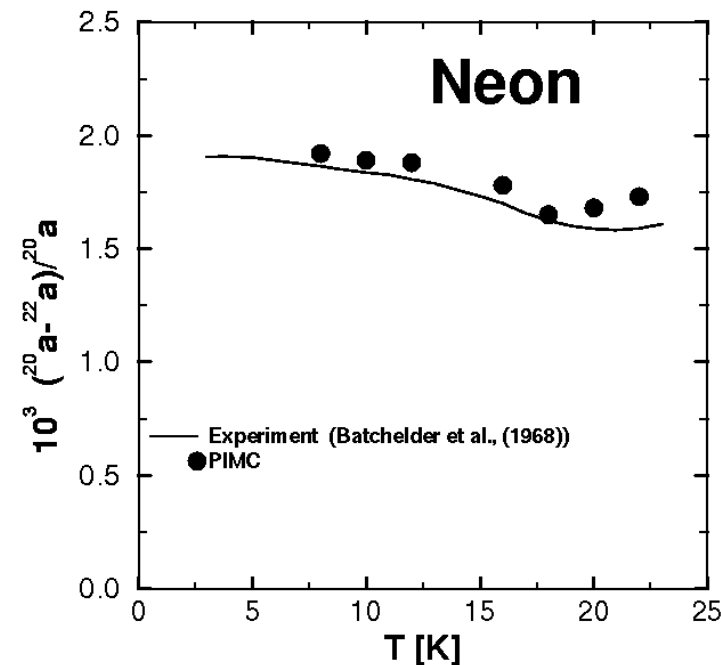
Feynman (1942)



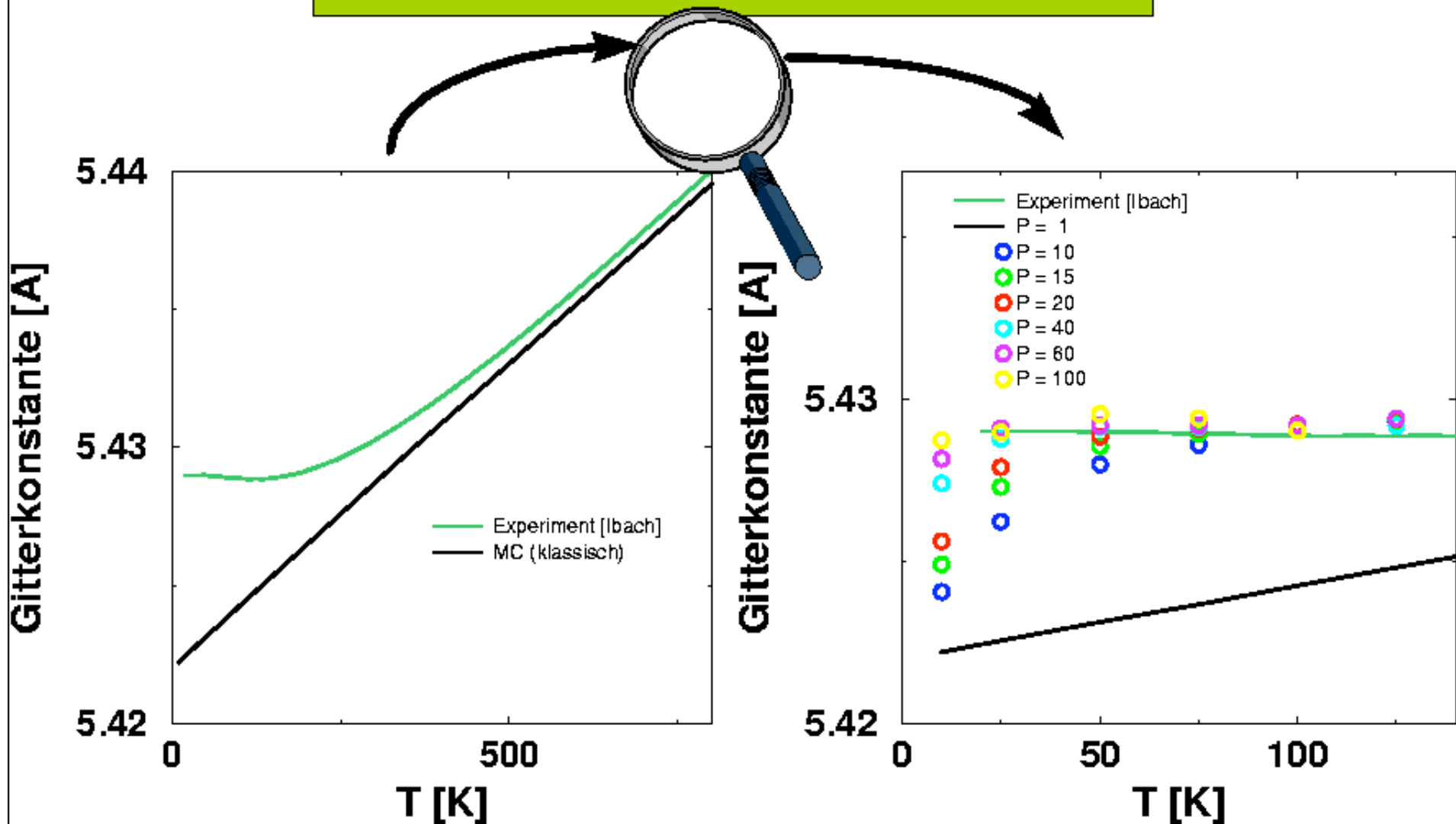
Quanteneffekte in Festkörpern: Pfadintegral Monte Carlo Studien



Element	Debye-Temperatur θ_D [K]
Ar	85
Al	394
Li	400
Si	625
Ge	360
Cu	315
Fe	420



Volumen in Si- Festkörpern





Das Universum im Computer / LS Nielaba

- Numerisch **exakte** Behandlung komplexer Systeme
- Überprüfung analytischer Näherungen
- Voraussagen fürs Experiment

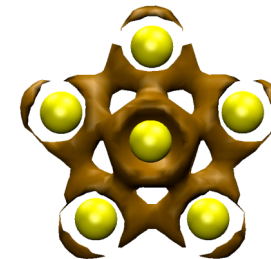
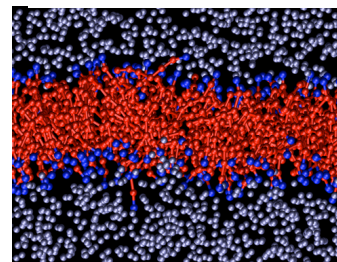
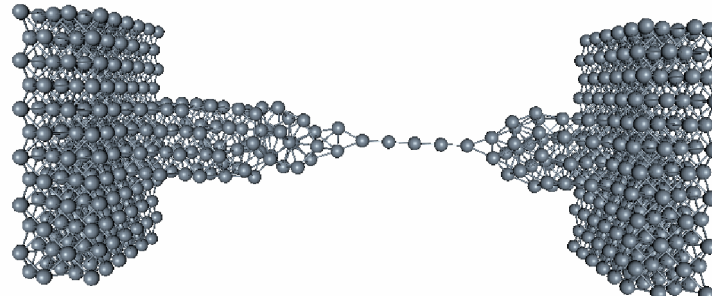
Vielteilchensysteme

- Materialien für die Zukunft
- Struktur-Änderungen durch äußere Felder



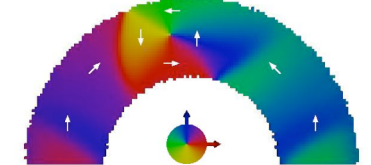
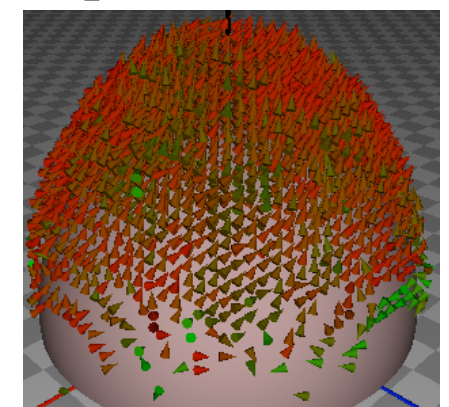
Quantenphänomene

- Nano-Bauelemente



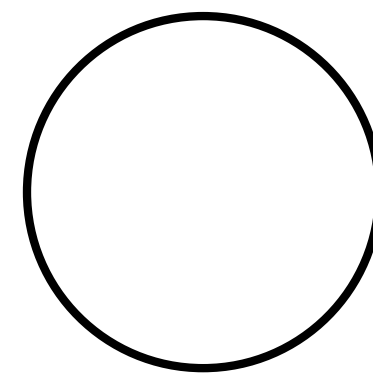
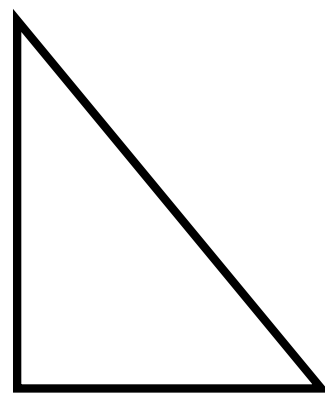
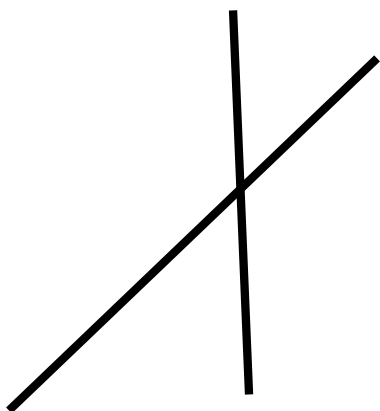
Magnetismus

- Neue Speichermedien



Nachbarwissenschaften: Mathematik (Modellbildung, Methoden), Informatik, Chemie (Moleküle), Biologie (Membran), Finanz-Physik (€)

Einfache geometrische Objekte:



Colloidal dispersions:

Solutions of mesoscopic solid particles with a stable (non-fluctuating) shape embedded in a molecular fluid solvent

Examples: aqueous suspensions of polystyrene,
latex spheres or rods,...

They can be prepared and characterized in a controlled way

The interaction is tunable

They are prototypes of soft matter: Simplest complex fluid

→ Ideal model systems in statistical physics

→ “Bridge” to the Nano-World

Colloidal dispersions:

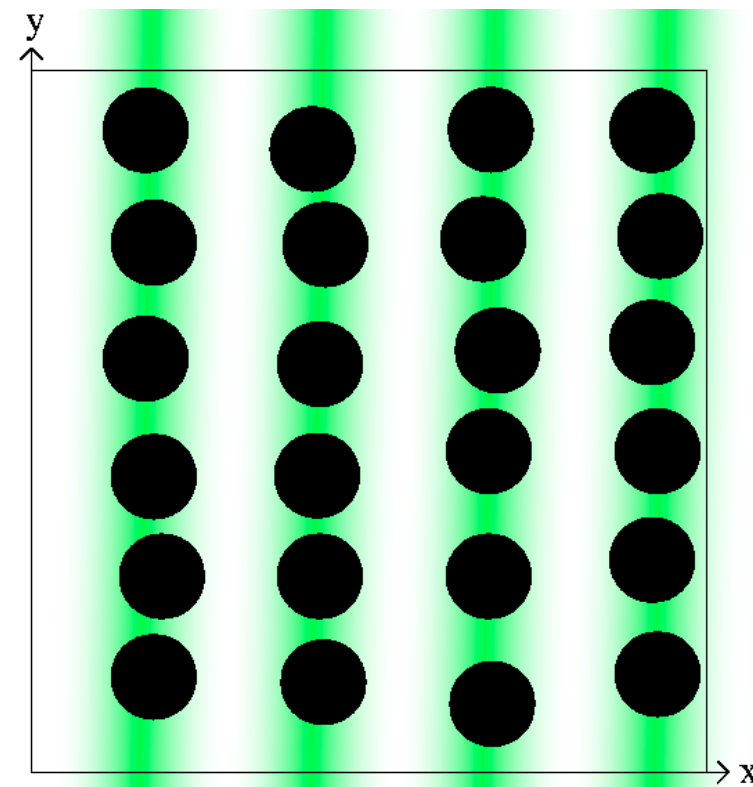
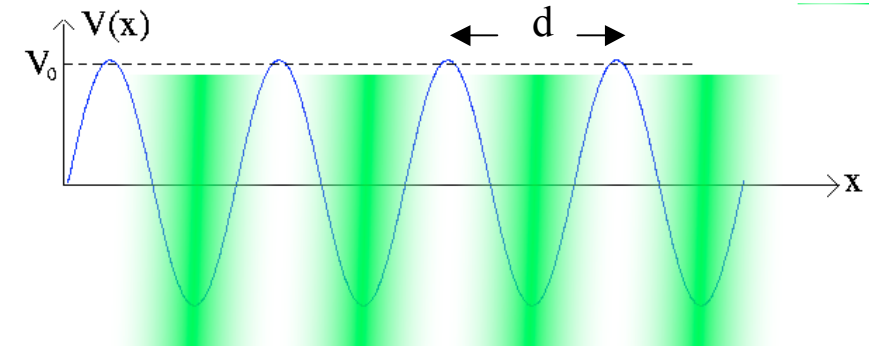
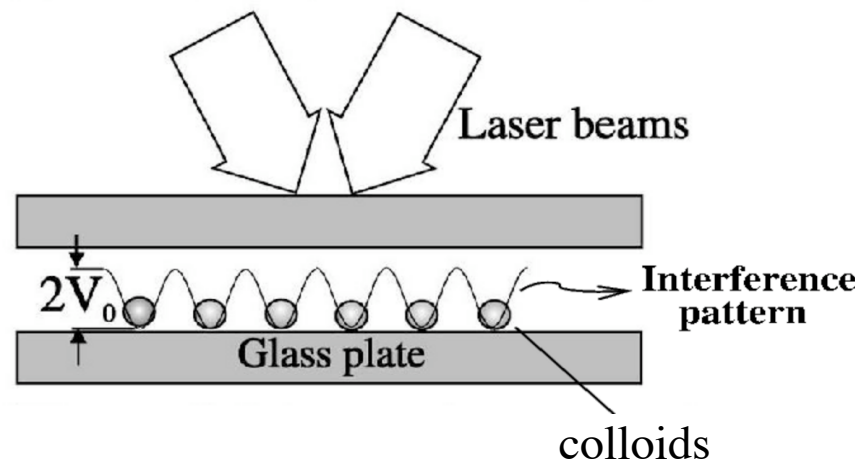
Strukturen im Gleichgewicht:
Phasenumwandlungen und Quanteneffekte

Strukturbildung im Nichtgleichgewicht

Vergleich mit Experimenten und Voraussagen

Colloids in external periodic light fields (experiments):

Side view:

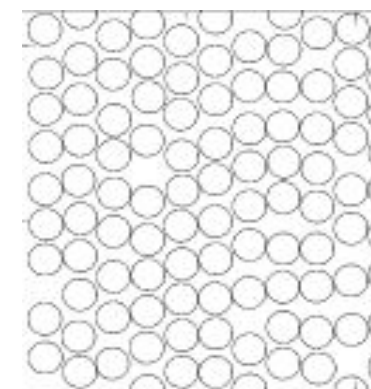
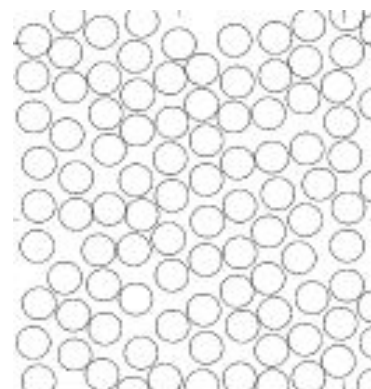
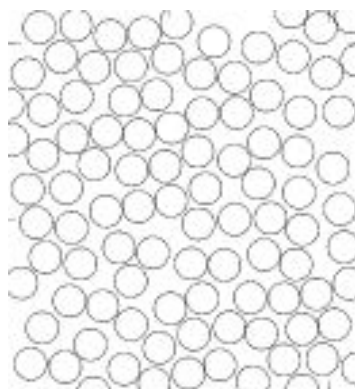
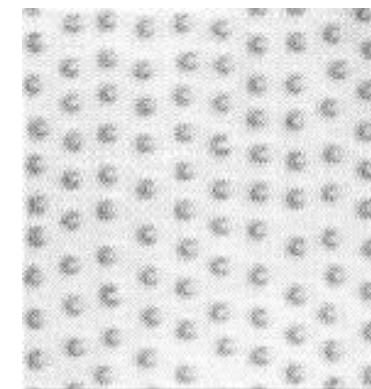
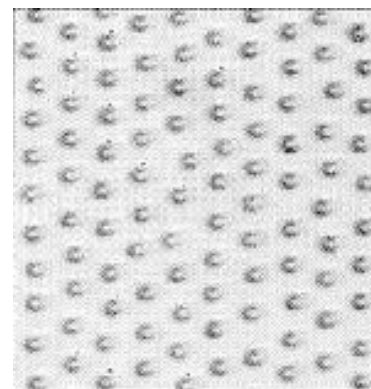
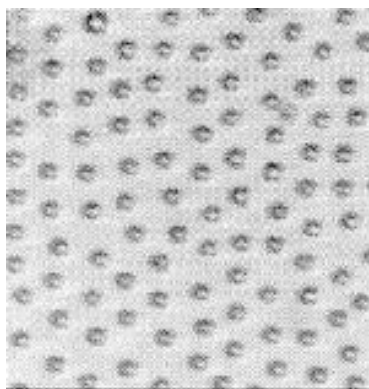


Top view:

Q.-H. Wei, C. Bechinger, D. Rudhardt, P. Leiderer, Phys. Rev. Lett. **81**, 2606 (1998)

Comparison experiment/simulation

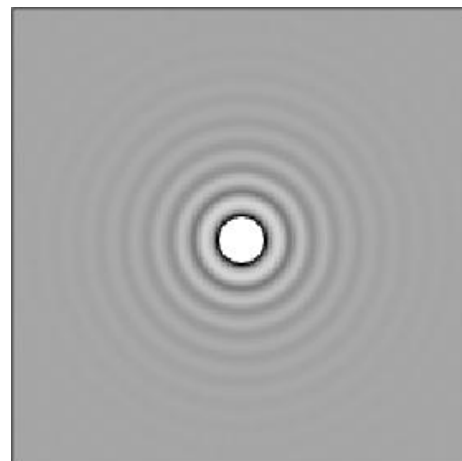
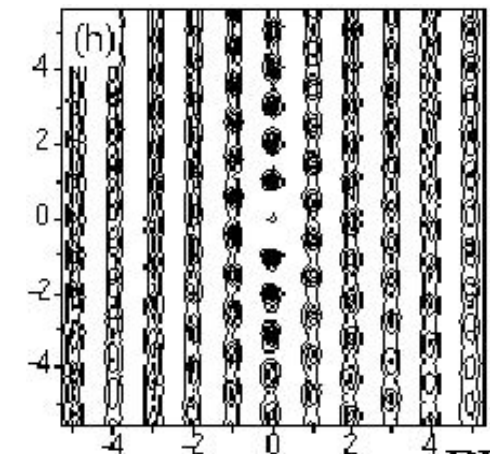
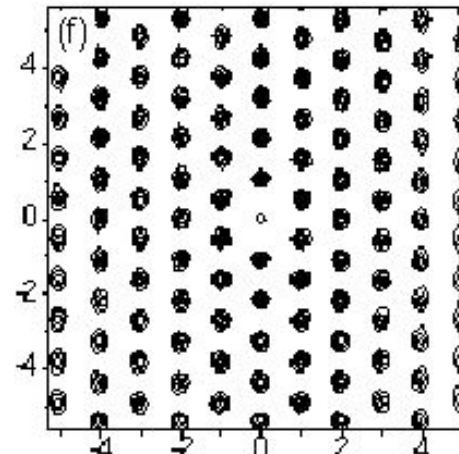
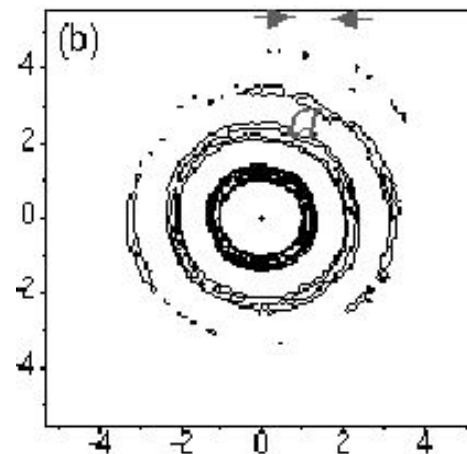
Configurations



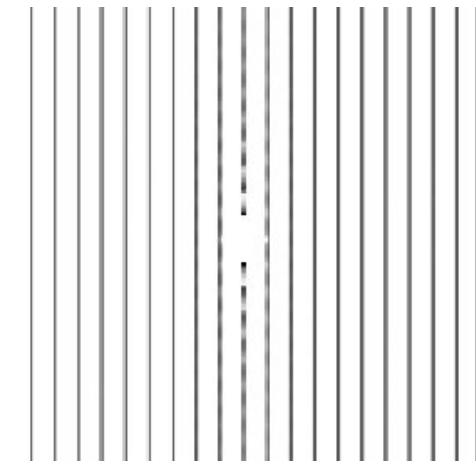
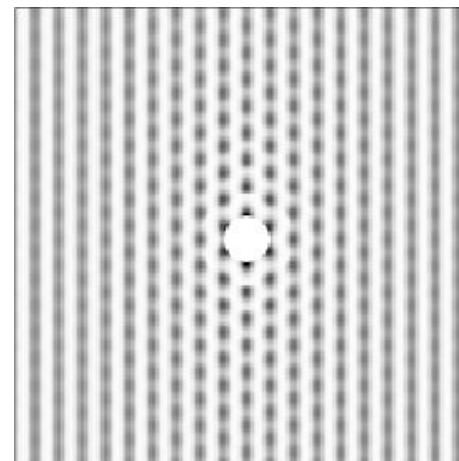
V_0 →

Comparison experiment/simulation

Pair correlation functions



V_0



The cumulant:

Order parameter: Φ

$$U_L = 1 - \frac{\langle \Phi^4 \rangle_L}{3 \langle \Phi^2 \rangle_L^2}$$

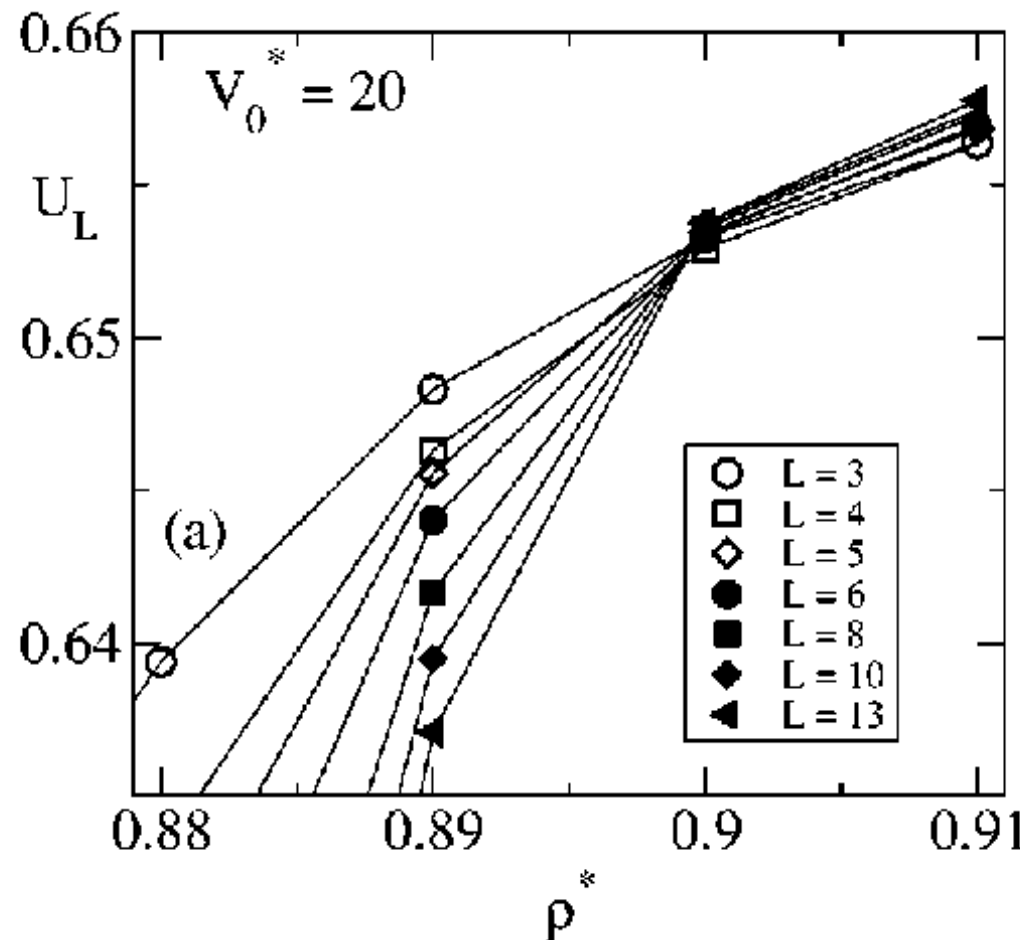
$$T > T_c: \quad U_L \xrightarrow{L \rightarrow \infty} 0$$

$$T < T_c: \quad U_L \xrightarrow{L \rightarrow \infty} 2/3$$

$$T = T_c: \quad U_L \approx U_L(L/\xi) \xrightarrow{\xi \rightarrow \infty} U^* \text{ (universal)}$$

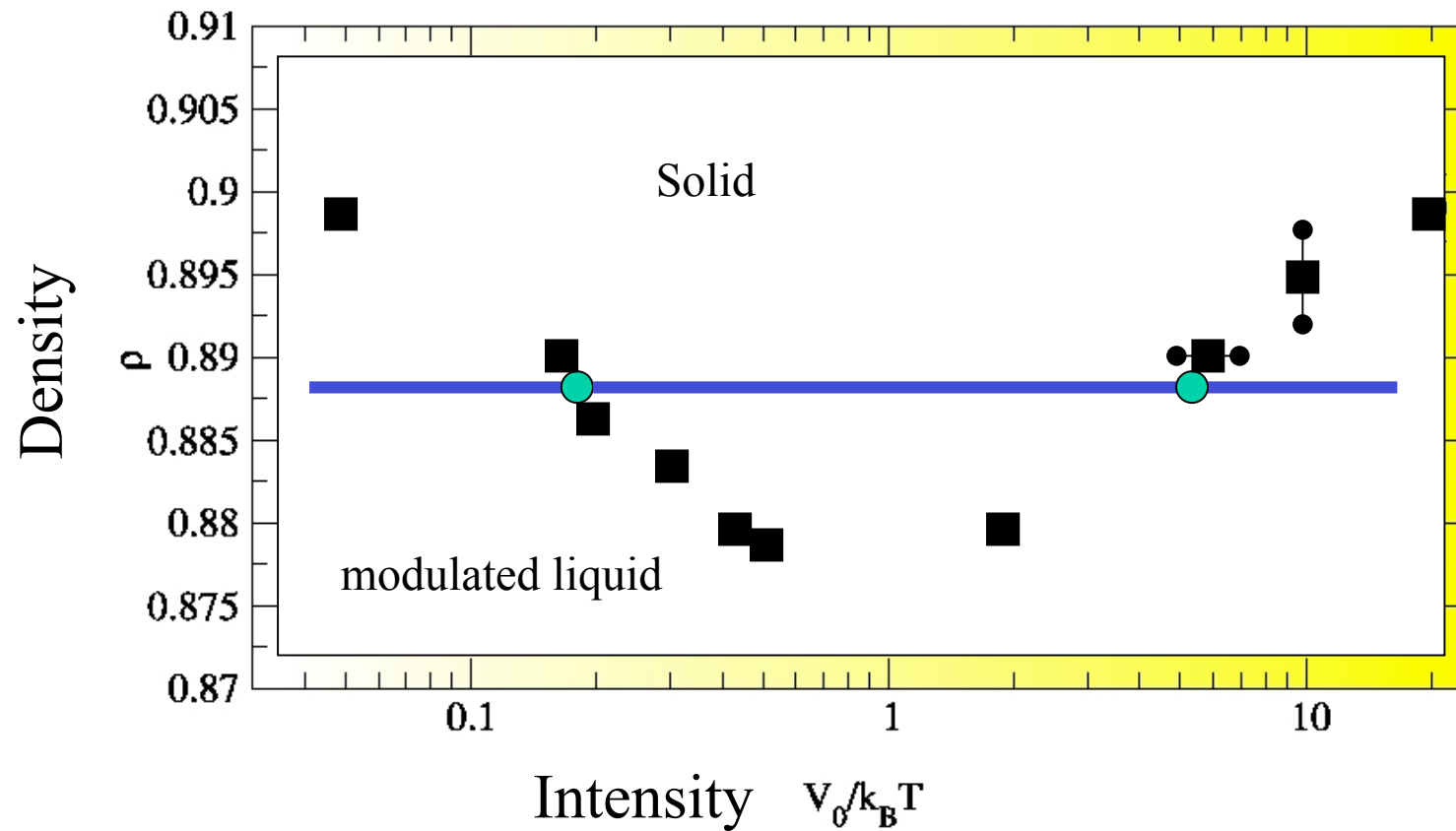
K. Binder, Z. Phys. B43, 119 (1981)

Order parameter cumulant:

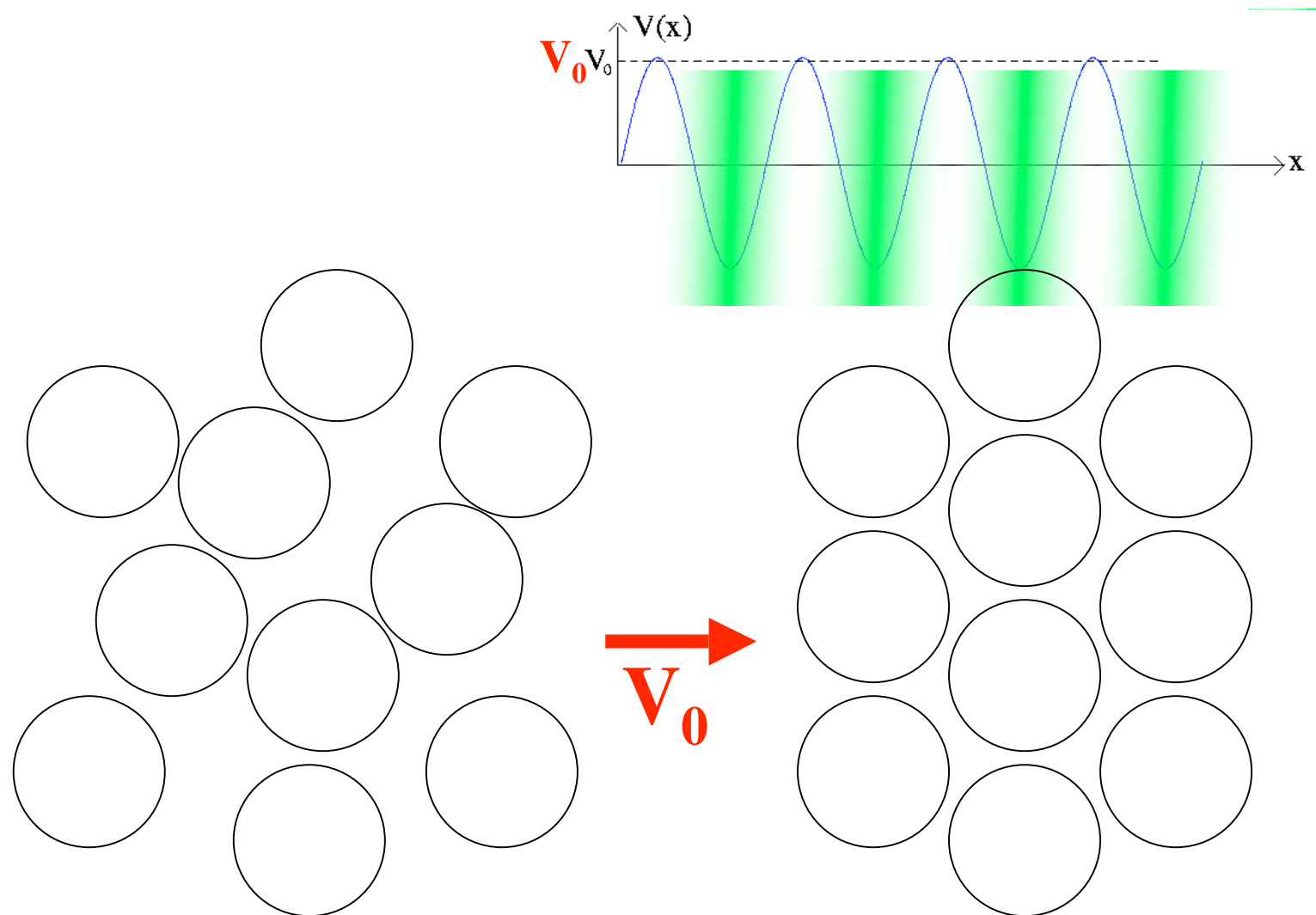


W. Strepp, S. Sengupta, P. Nielaba, PRE 63, 046106 (2001)

Phase diagram (hard disks):

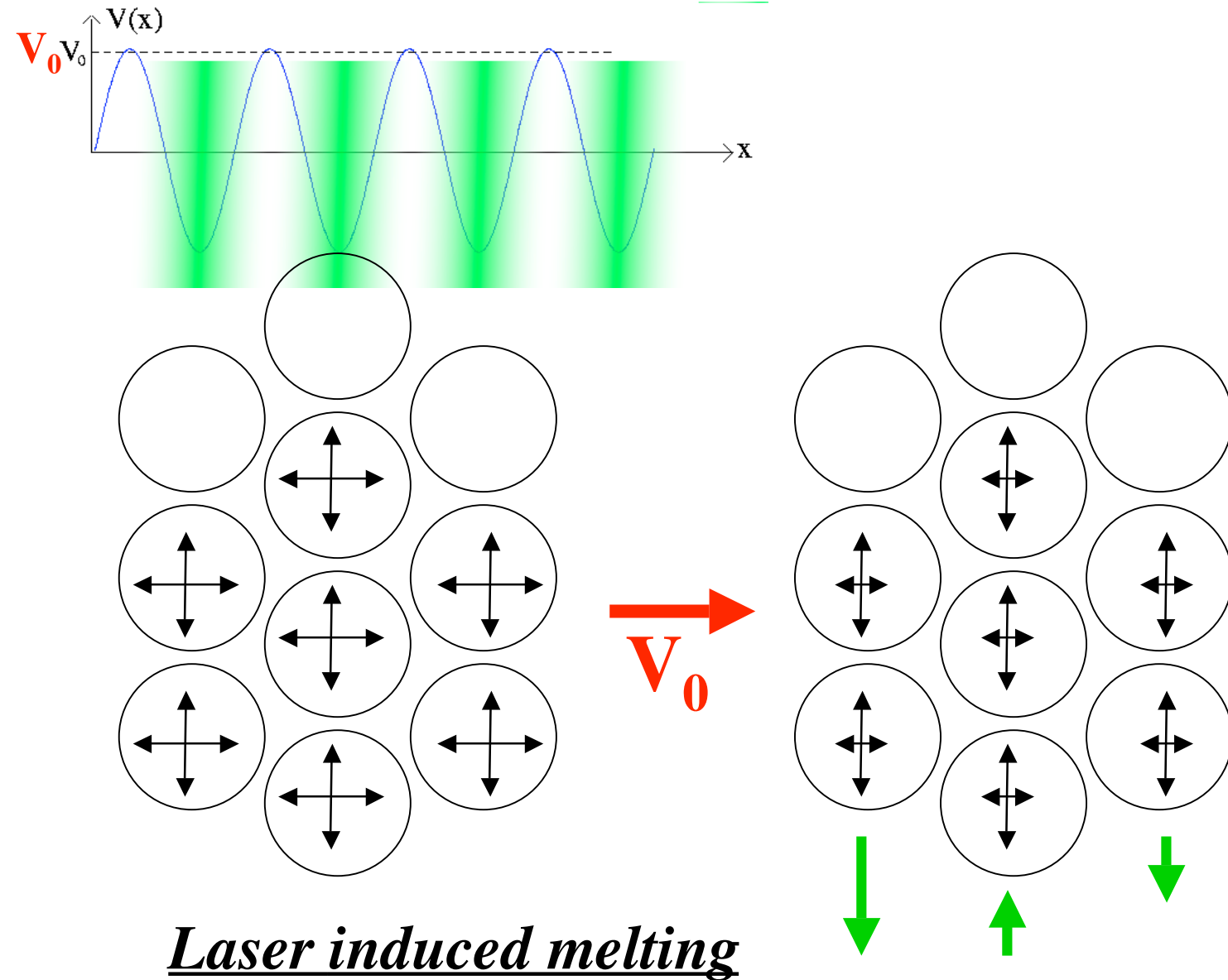


Suppression of fluctuations for small V_0 :

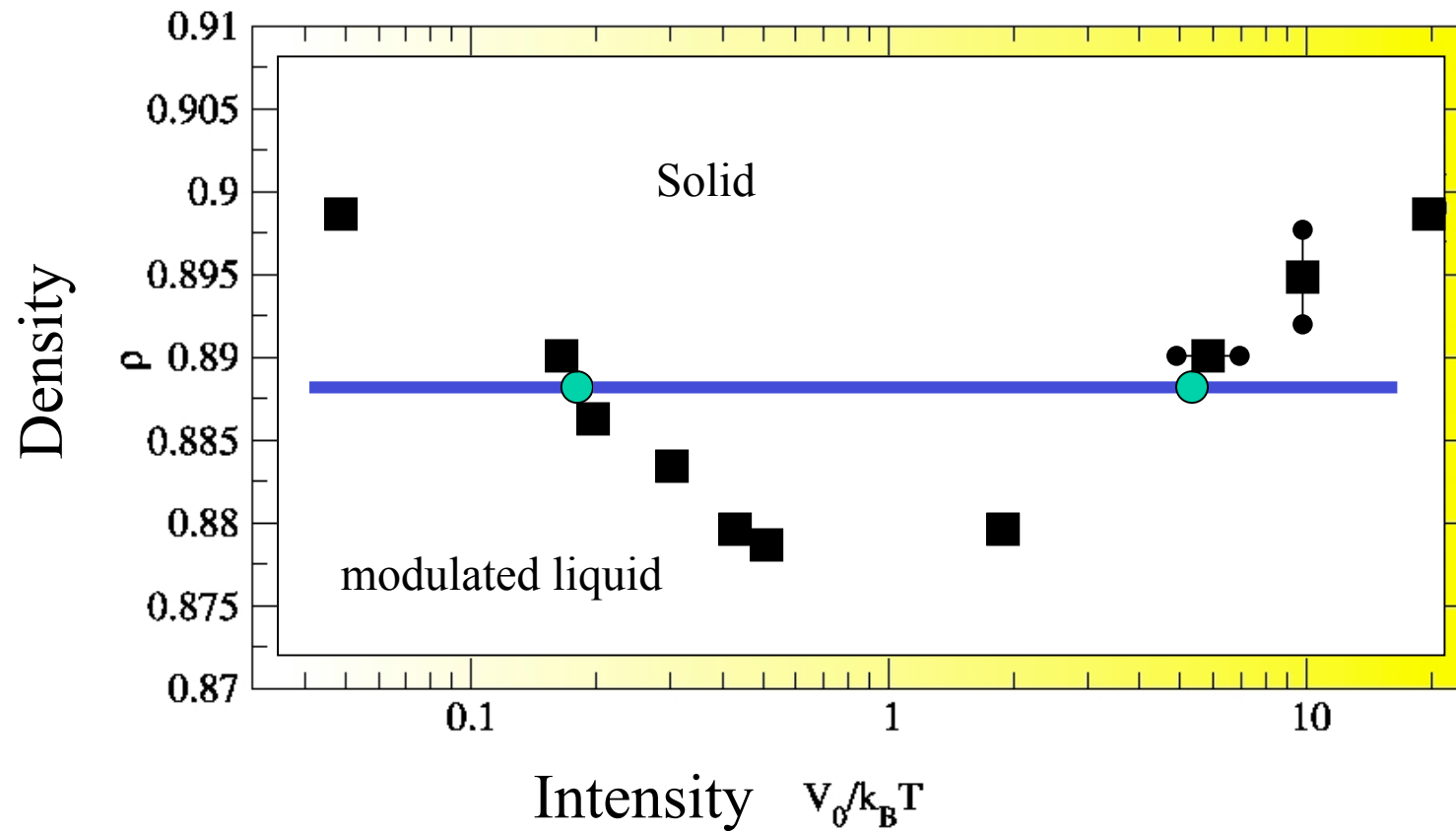


Laser induced freezing

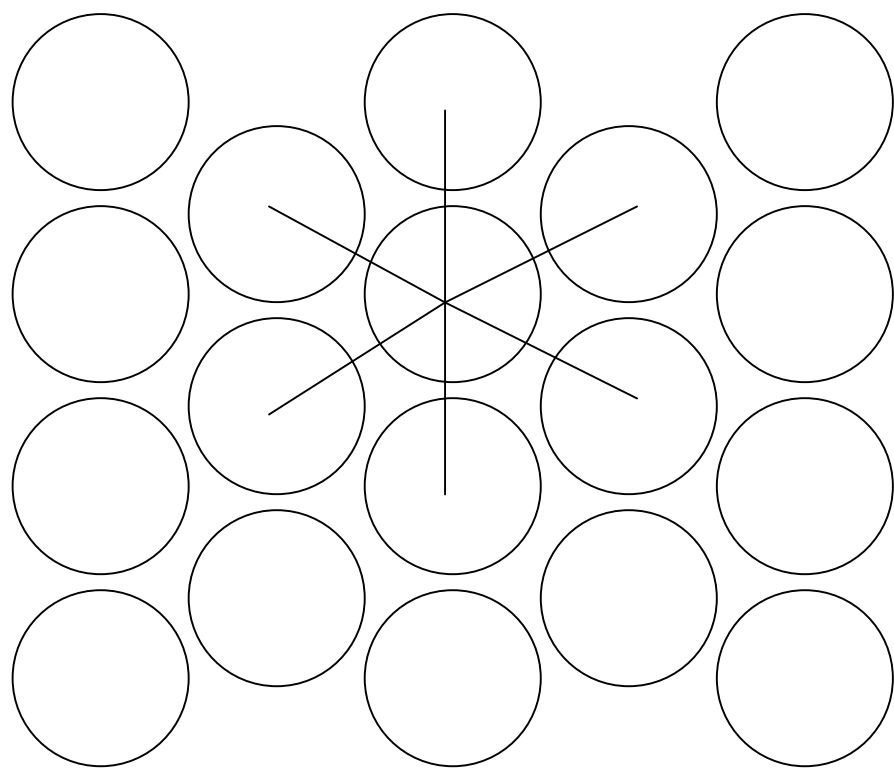
Suppression of fluctuations perpendicular to “valleys”: “decoupling” of particles in neighbor-“valleys” for large V_0



Phase diagram (hard disks):



Effect of the interaction range: interactions with “additional” neighbors



hard core interaction

